



第二章 控制系统的数学模型

2.1 建立数学模型的一般方法

2.2 非线性及线性化

2.3 传递函数

2.4 典型环节

2.5 动态结构图及等效变换

2.6 信号流图及梅森公式

2.7 控制系统的传递函数



- ❖ 定义：控制系统的数学模型是描述实际系统各物理量（输入变量、输出变量和内部变量）之间关系的数学表达式。
- ❖ 用途(意义):
 - 1) 分析实际系统
 - 2) 预测实际系统的物理量
 - 3) 设计控制系统



- ❖ 控制系统的数学模型关系到对系统性能的分析结果，所以建立合理的数学模型是控制系统分析中至关重要的事情。

建立系统数学模型时，必须：

(1) 全面了解系统的特性，确定研究目的以及准确性要求，决定能否忽略一些次要因素而使系统数学模型简化。

(2) 根据所应用的系统分析方法，建立相应形式的数学模型，有时还要考虑便于计算机求解。



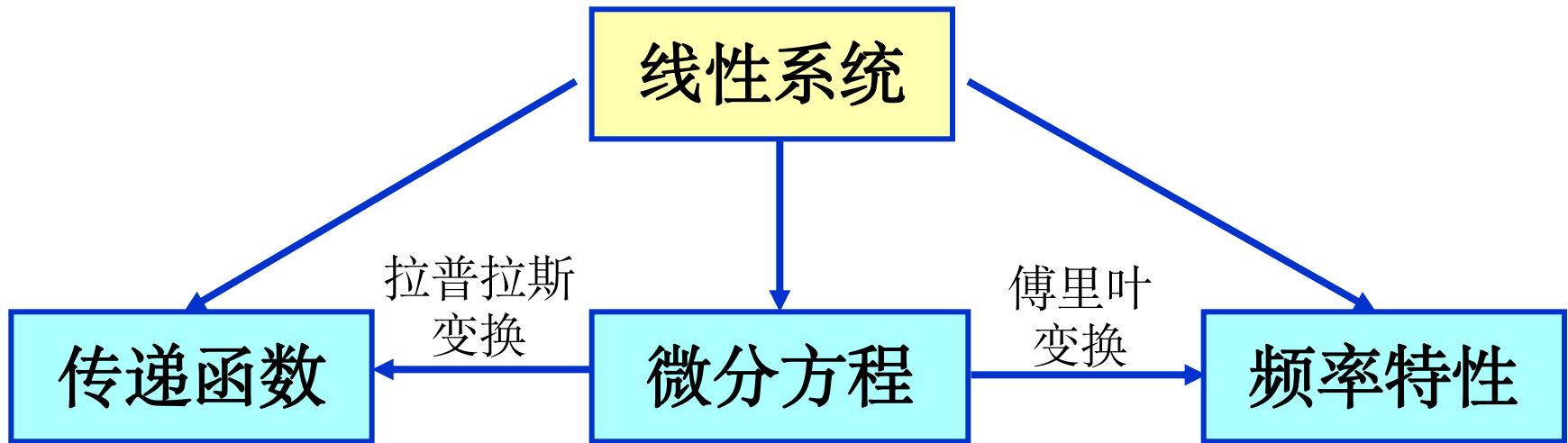
建立系统的数学模型主要方法

- 1、**解析法**。根据系统满足的物理规律或化学规律建立数学模型。
- 2、**实验法**。通过测量所得到的大量输入、输出数据，推断出被研究系统的数学模型，又称为系统辨识。



数学模型的形式:

- ❖ 时域: 微分方程、差分方程、状态方程
- ❖ 频域: 频率特性、信号流图
- ❖ 复(频)域: 传递函数、结构图(框图)、信号流图





第二章 控制系统的数学模型

2.1 建立数学模型的一般方法

2.2 非线性及线性化

2.3 传递函数

2.4 典型环节

2.5 动态结构图及等效变换

2.6 信号流图及梅森公式

2.7 控制系统的传递函数



2.1 建立数学模型的一般方法

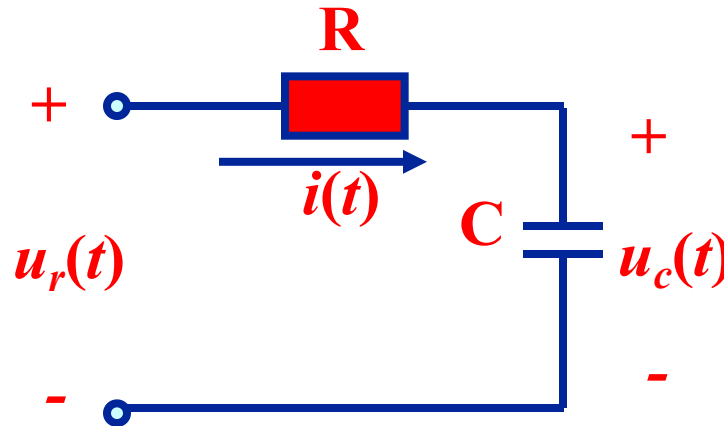
列写系统微分方程的**一般步骤**:

- 1) 确定系统的输入、输出量; 在条件许可下适当简化, 忽略一些次要因素;
- 2) 根据已知的物理或化学定律, 列写运动过程的动态方程, 通常为 n 组微分方程;
- 3) 消去中间变量, 写出输入、输出量的微分方程;
- 4) 整理, 写成微分方程的标准形式 (输出量在左, 输入量在右, 按照降阶次进行排列)。



2.1 建立数学模型的一般方法

例1 电阻和电容的串联网络，其中 $u_r(t)$ 为输入电压， $u_c(t)$ 为输出，建立两者关系的微分方程。



(1) 确定输入(自变量)和输出变量(因变量)。

输入: $u_r(t)$; 输出: $u_c(t)$

(2) 根据基本定律，列写原始方程（欧姆定律、基尔霍夫定律）。

$$u_r(t) = Ri(t) + u_c(t) \quad i(t) = C \frac{du_c(t)}{dt}$$



2.1 建立数学模型的一般方法

(3) 消去中间变量 $i(t)$ ，得到最终的方程。

$$RC \frac{du_c(t)}{dt} + u_c(t) = u_r(t)$$

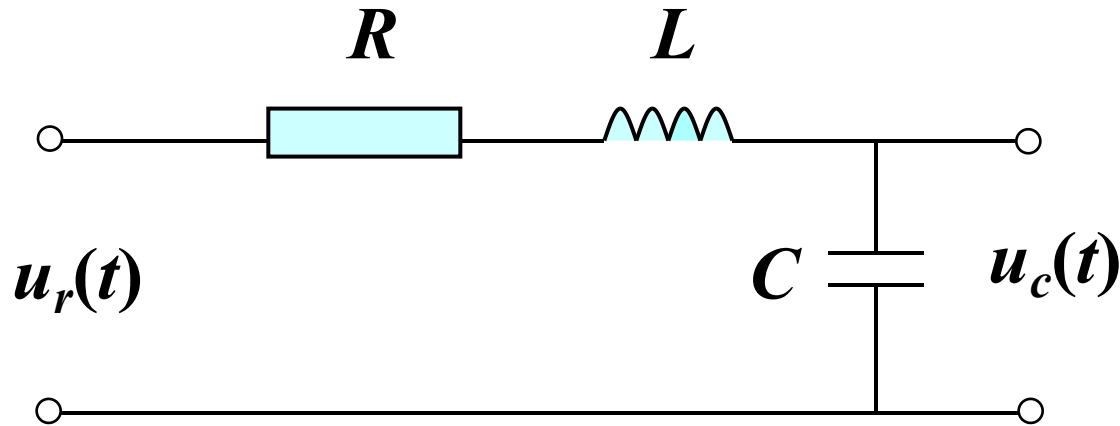
$$T \frac{du_c(t)}{dt} + u_c(t) = u_r(t)$$

上式为一阶线性微分方程，因此这个RC电路是一阶线性(定常)系统。



2.1 建立数学模型的一般方法

例2 如图所示的RLC电路，试建立以电容上电压 $u_c(t)$ 为输出变量，输入电压 $u_r(t)$ 为输入变量的运动方程。





2.1 建立数学模型的一般方法

解：由基尔霍夫电压定律 (KVL) 得

$$u_r(t) = Ri(t) + L \frac{di(t)}{dt} + u_c(t) \quad (1)$$

又有

$$i(t) = C \frac{du_c(t)}{dt} \quad (2)$$

将 (2) 代入 (1) , 消去中间变量 $i(t)$ 得:

$$LC \frac{d^2 u_c(t)}{dt^2} + RC \frac{du_c(t)}{dt} + u_c(t) = u_r(t)$$



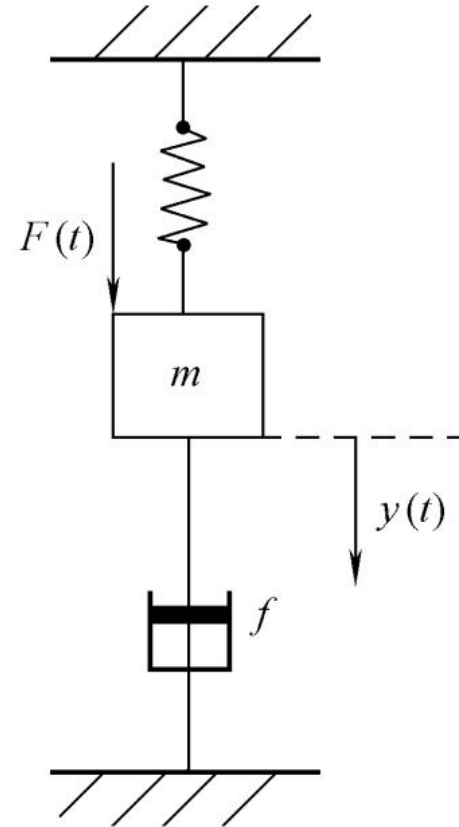
2.1 建立数学模型的一般方法

例3 机械位移系统,物体在外力 $F(t)$ 作用下产生位移 $y(t)$,写出运动方程。

输入 $F(t)$, 输出 $y(t)$

理论依据:牛顿第二定律,
物体所受的合外力等于物
体质量与加速度的乘积。

$$\sum F = m a$$





2.1 建立数学模型的一般方法

解: $F_1 = K y(t)$

$$F_2 = f \frac{dy(t)}{dt}$$

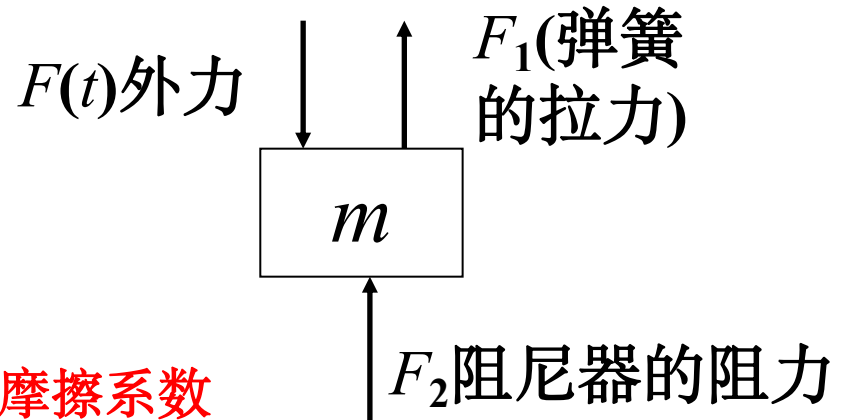
K 为弹簧弹性系数, f 为阻尼器的粘性摩擦系数

$$a = \frac{d^2 y(t)}{dt^2}$$

$$F(t) - F_1 - F_2 = m a$$

$$F(t) - k y(t) - f \frac{dy(t)}{dt} = m \frac{d^2 y(t)}{dt^2}$$

整理得到: $m \frac{d^2 y(t)}{dt^2} + f \frac{dy(t)}{dt} + k y(t) = F(t)$





2.1 建立数学模型的一般方法

许多表面上看来似乎毫无共同之处的控制系统，其运动规律可能完全一样可以用一个运动方程来表示，称它们为**结构相似系统**。

上例的机械位移系统和RLC电路就可以用同一个数学表达式分析，具有相同的数学模型。

$$LC \frac{d^2 u_c(t)}{dt^2} + RC \frac{du_c(t)}{dt} + u_c(t) = u_r(t)$$

$$m \frac{d^2 y(t)}{dt^2} + f \frac{dy(t)}{dt} + ky(t) = F(t)$$



2.1 建立数学模型的一般方法

实例



汽车减震系统



2.1 建立数学模型的一般方法

麦弗逊结构简单、占用空间小



双叉臂结构复杂、占用空间大



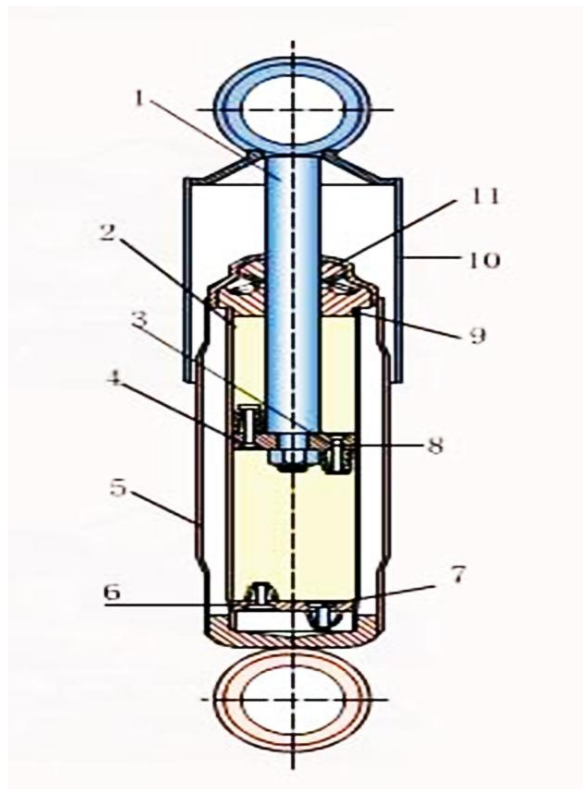
拖曳臂式悬挂



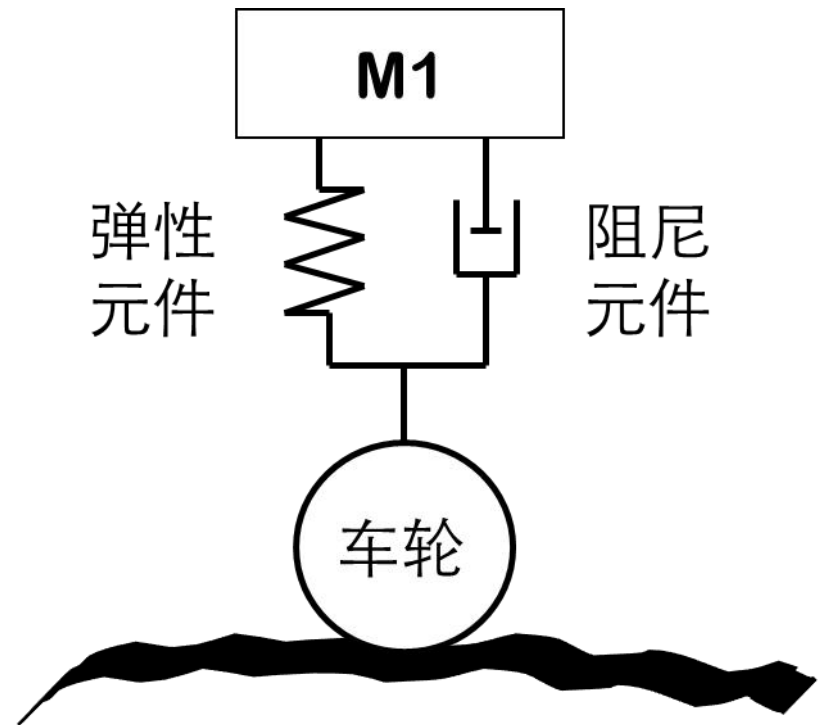
典型的多连杆悬挂系统



2.1 建立数学模型的一般方法



1. 活塞杆；2. 工作缸筒；3. 活塞；
4. 伸张阀；5. 储油缸筒；6. 压缩阀；
7. 补偿阀；8. 流通阀；9. 导向座；
10. 防尘罩；11. 油封

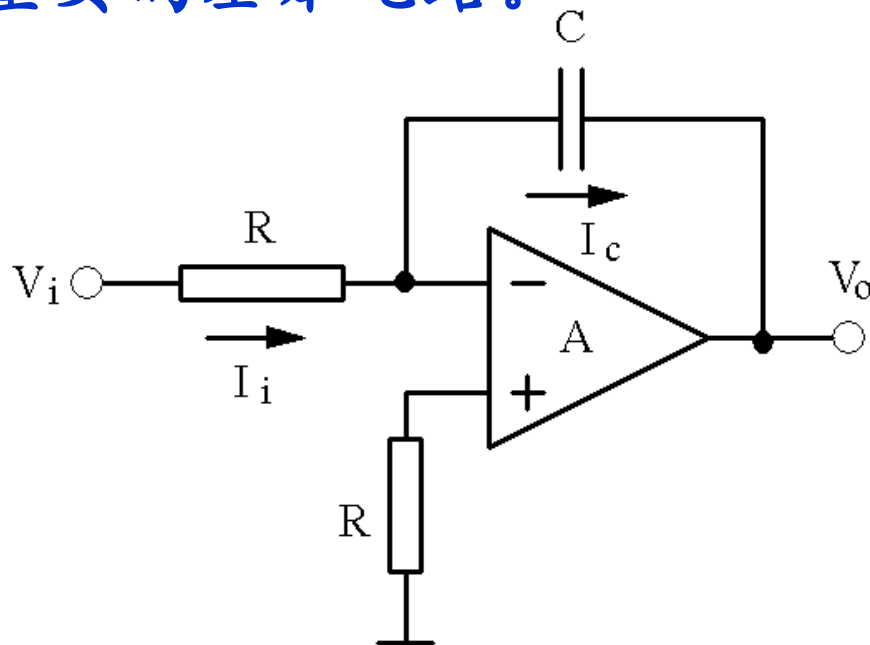




2.1 建立数学模型的一般方法

例4 积分器。

- 积分器是实现输入信号进行积分运算的电路。
- 积分器具有广泛的用途，如A / D转换器、压控振荡器、波形发生器、扫描电路等许多方面都用到它，是一种重要的基本电路。



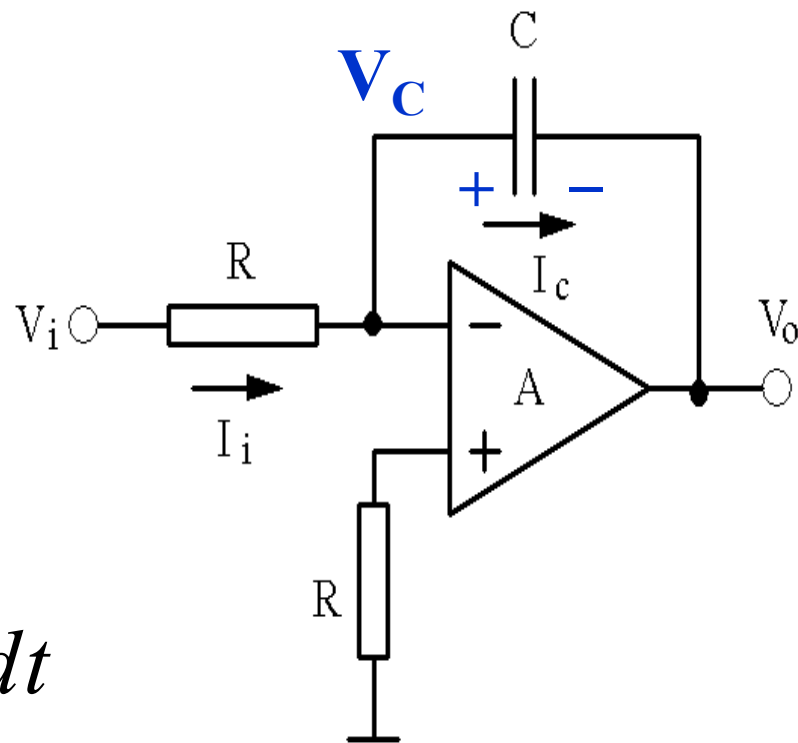


2.1 建立数学模型的一般方法

$$V_O = -V_C$$

$$= -\frac{1}{C} \int I_C dt = -\frac{1}{C} \int I_i dt$$

$$= -\frac{1}{RC} \int V_i dt = -\frac{1}{\tau} \int V_i dt$$



式中， $\tau = RC$ ，称为积分器的时间常数。



2.1 建立数学模型的一般方法

❖ 所以，积分器的输出电压为：

$$V_o = -\frac{1}{RC} \int V_i dt$$

❖ 积分器的输出电压正比于输入电压对时间的积分。这是在初始条件 $V_c(0) = 0$ 的情况下得出的输出电压表达式。

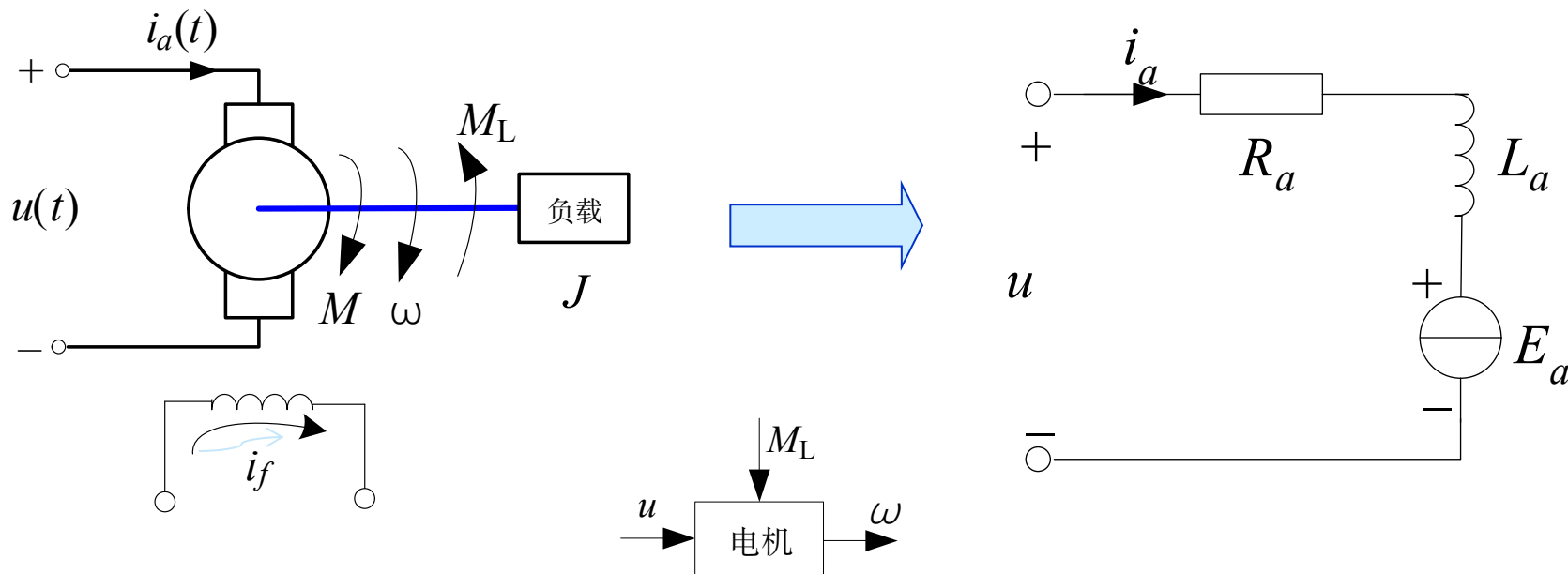
❖ 化为微分形式：

$$\frac{dV_o}{dt} = -\frac{1}{RC} V_i$$



2.1 建立数学模型的一般方法

例5: 直流他励电机的数学模型。



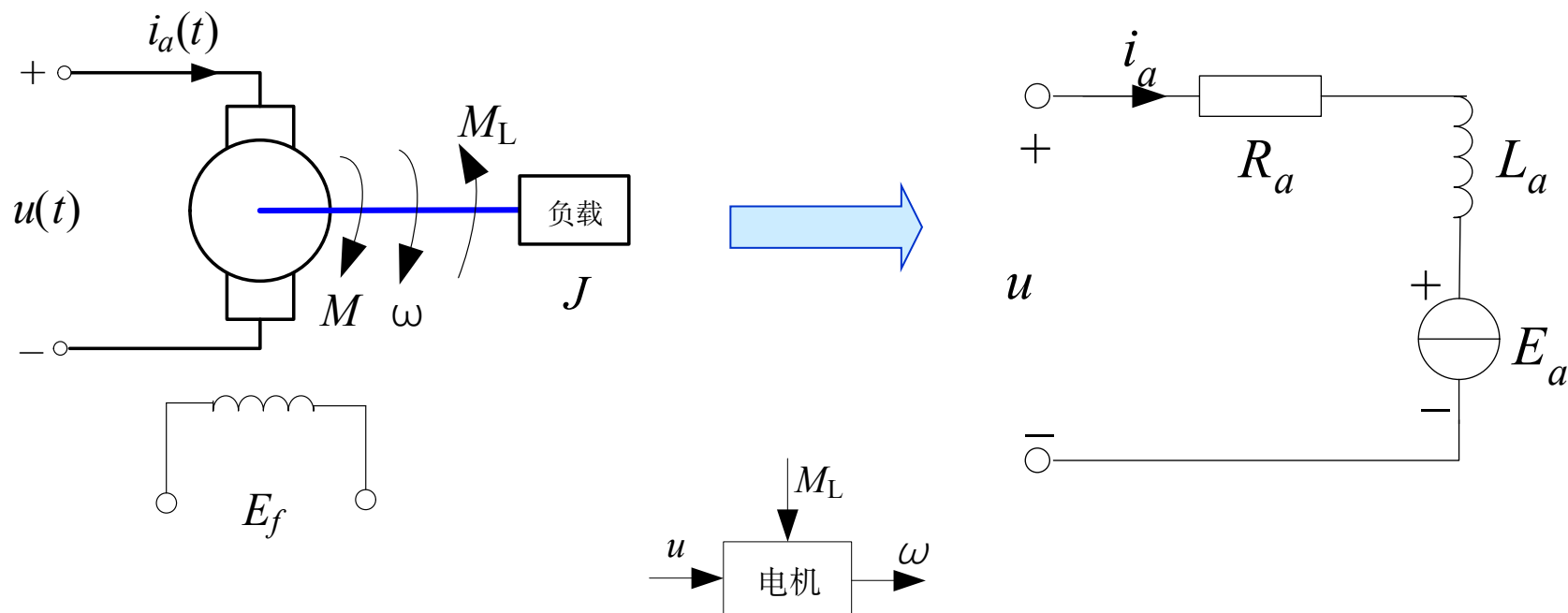
$u(t)$ 为电枢电压； E_a 为反电动势； i_a 为电枢电流； R_a 为电枢电阻； L_a 为电枢电感； M 为电磁转矩； ω 为电机角速度； J 为电动机总的转动惯量； f 为电动机和负载折算到轴上的等效粘性阻尼系数； i_f 为励磁电流（常数）。



2.1 建立数学模型的一般方法

解： (1) 明确输入、输出量。输出量为 ω ，输入量为 $u(t)$ 。

(2) 不计电枢反应、涡流效应和磁滞影响；当 i_f 为常值时，磁场不变，电机绕组温度在瞬变过程中不变。





2.1 建立数学模型的一般方法

(3) 建立输入、输出量的动态联系。

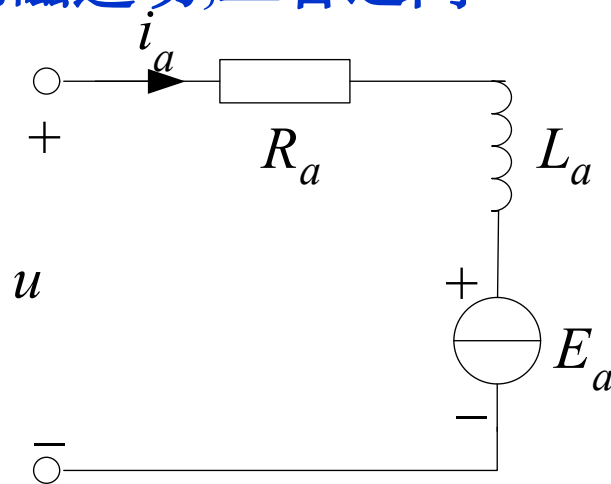
在他励直流电动机系统中有机机械运动及电磁运动,二者之间还存在耦合。

根据基尔霍夫定律(电磁运动):

$$u = L_a \frac{di_a}{dt} + R_a i_a + E_a$$

根据刚体旋转定律(电磁运动):

$$J\alpha = J \frac{d\omega}{dt} = M - M_L$$



机电之间耦合关系:

$$E_a = C_e \omega$$

反电动势

$$M = C_m i_a(t)$$

电动机转矩

$$\alpha = \frac{d\omega}{dt}$$

角加速度

$$M_L = f\omega$$

负载转矩

C_e 为电动机电势系数 ($\text{V}/(\text{rad}\cdot\text{s}^{-1})$)。

C_m 为电动机力矩系数 ($\text{N}\cdot\text{m}/\text{A}$)。



2.1 建立数学模型的一般方法

(4) 消去中间变量，得到系统的数学模型。消去中间变量 E_a 、 i_a 、 M_L 和 M ，得电枢电压控制直流电动机微分方程式：

$$\frac{L_a J}{C_e C_m} \frac{d^2 \omega}{dt^2} + \left(\frac{R_a J + L_a f}{C_e C_m} \right) \frac{d\omega}{dt} + \left(1 + \frac{R_a f}{C_e C_m} \right) \omega = \frac{u}{C_e}$$

T_m ——电动机的机电时间常数， $T_m = \frac{R_a J}{C_e C_m}$ (秒)；

电动机从启动到转速达到空载转速的**63.2%**时所经历的时间。

T_e ——电动机的电气时间常数， $T_e = \frac{L_a}{R_a}$ (秒)；

$$T_e = (1/5 - 1/10) T_m$$

$$T_e T_m \frac{d^2 \omega}{dt^2} + T_m \frac{d\omega}{dt} + \omega = \frac{1}{C_e} u_a - \frac{T_m f}{J} \omega - \frac{T_e T_m}{J} f \frac{d\omega}{dt}$$



2.1 建立数学模型的一般方法

(5)若输出为电动机的角速度 ω ，得电枢电压控制直流电动机微分方程式：

$$T_e T_m \frac{d^2 \omega}{dt^2} + T_m \frac{d\omega}{dt} + \omega = \frac{1}{C_e} u_a - \frac{T_m f}{J} \omega - \frac{T_e T_m}{J} f \frac{d\omega}{dt}$$

是一个2阶线性定常微分方程。

(6) 若输出为电动机的转角 θ ，则有：

$$T_e T_m \frac{d^3 \theta}{dt^3} + T_m \frac{d^2 \theta}{dt^2} + \frac{d\theta}{dt} = \frac{1}{C_e} u_a - \frac{T_m}{J} M_L - \frac{T_e T_m}{J} \frac{dM_L}{dt}$$

是一个3阶线性定常微分方程。



2.1 建立数学模型的一般方法

(7) 若以电动机转速 n (单位 r/min) 为输出, 则有:

$$T_e T_m \frac{d^2 n}{dt^2} + T_m \frac{dn}{dt} + n = \frac{1}{C'_e} u_a - \frac{T_m}{GD^2/375} M_L - \frac{T_e T_m}{GD^2/375} \frac{dM_L}{dt}$$

是一个2阶线性定常微分方程。

$$\omega = \frac{\pi}{30} n \quad C'_e = C_e \frac{\pi}{30} \quad J = GD^2/4g$$

J 为电动机转动惯量;

GD 为电动机飞轮转矩;

M_L 为负载转矩。



2.1 建立数学模型的一般方法

$$T_e T_m \frac{d^2 \omega}{dt^2} + T_m \frac{d\omega}{dt} + \omega = \frac{1}{C_e} u_a - \frac{T_m f}{J} \omega - \frac{T_e T_m}{J} f \frac{d\omega}{dt}$$

式中 T_m —电动机的机电时间常数, $T_m = \frac{R_a J}{C_e C_m}$ (秒) ;

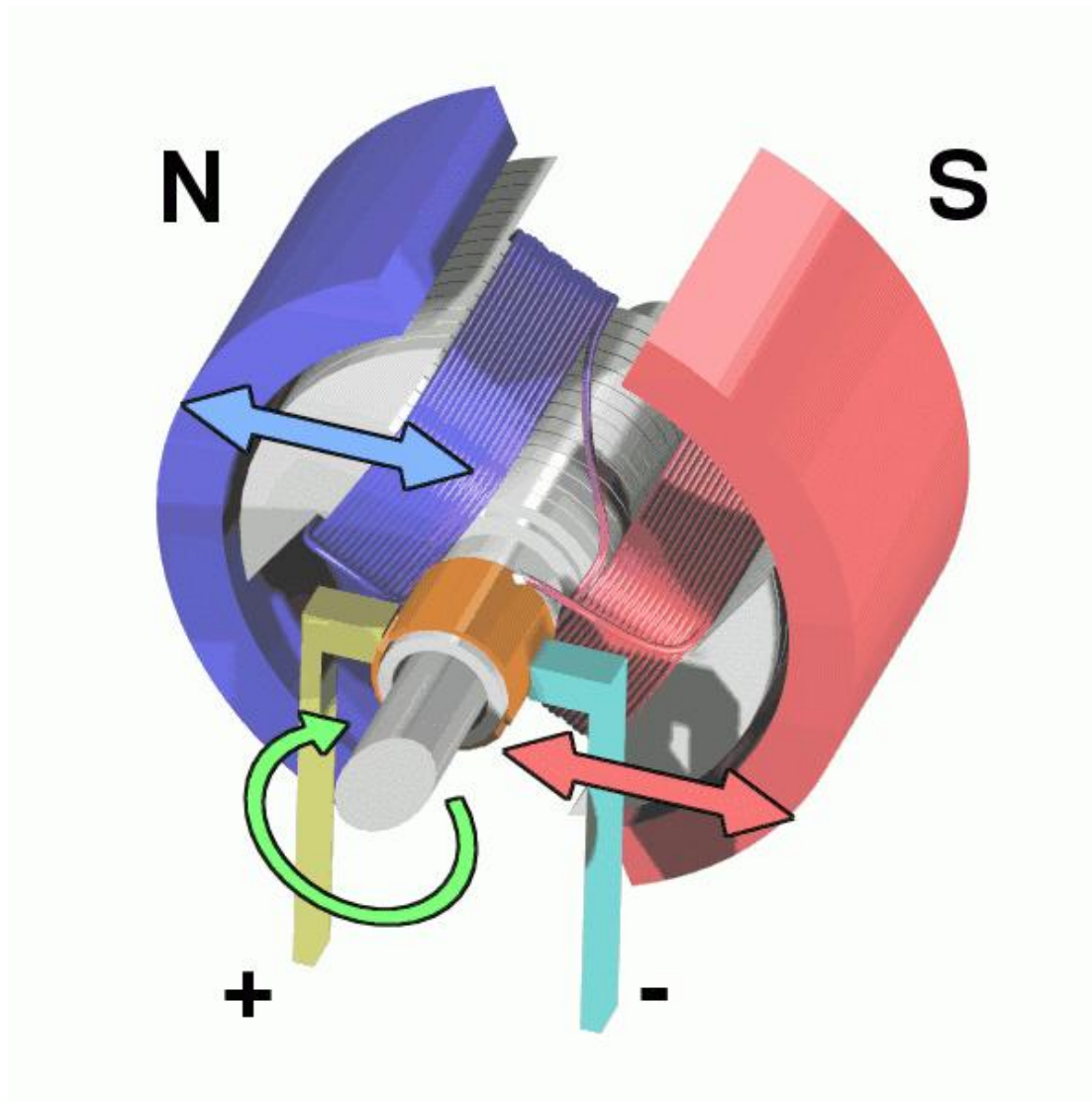
电动机从启动到转速达到空载转速的**63.2%**时所经历的时间。

T_e —电动机的电气时间常数, $T_e = \frac{L_a}{R_a}$ (秒) ;

$$T_e = (1/5 - 1/10) T_m$$

通常, 电动机的电枢电路电感 L_a 较小和粘性摩擦系数 f 较小时, 二者对系统的动态影响可以忽略不计, 可以简化为

$$T_m \frac{d\omega}{dt} + \omega = \frac{1}{C_e} u_a \quad T_m \frac{dn}{dt} + n = \frac{1}{C_e'} u_a \quad T_m \frac{d^2 \theta}{dt^2} + \frac{d\theta}{dt} = \frac{1}{C_e} u_a$$







第二章 控制系统的数学模型

Thank You !